Тензорный анализ сингулярного спектра

Хромов Никита Андреевич, гр.20.Б04-мм

Санкт-Петербургский государственный университет Прикладная математика и информатика Вычислительная стохастика и статистические модели

Отчет по производственной практике

Санкт-Петербург, 2023

Tensor SSA

Тензорный анализ сингулярного спектра

Хромов Никита Андреевич, гр. 20.504-мм

Санкт-Петербургский гоздарственний университет
Прикладна математика и информатика
Вычислительная стомстика и статистические модели

Научный руководитель к.ф.-м.н., доцент Голяндина Н.Э., кафедра статистического моделирования

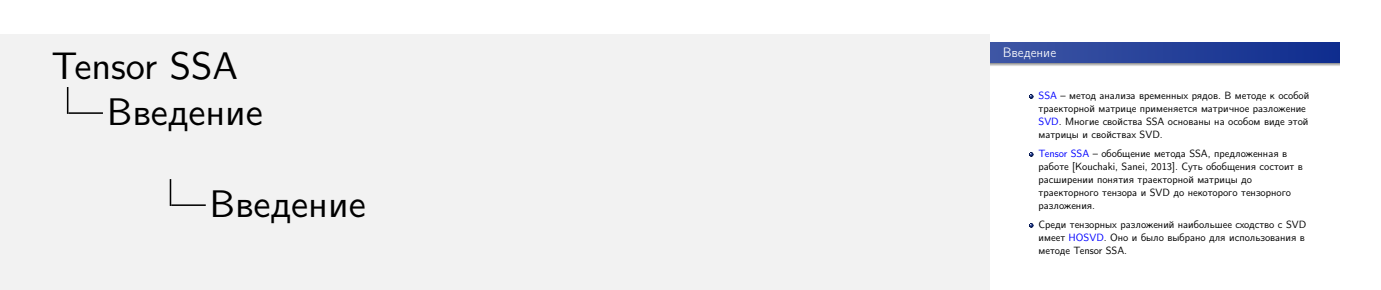
Введение

- SSA метод анализа временных рядов. В методе к особой траекторной матрице применяется матричное разложение SVD. Многие свойства SSA основаны на особом виде этой матрицы и свойствах SVD.
- Tensor SSA обобщение метода SSA, предложенная в работе [Kouchaki, Sanei, 2013]. Суть обобщения состоит в расширении понятия траекторной матрицы до траекторного тензора и SVD до некоторого тензорного разложения.
- Среди тензорных разложений наибольшее сходство с SVD имеет HOSVD. Оно и было выбрано для использования в методе Tensor SSA.

2/20

Хромов Никита Андреевич, гр.20.Б04-мм

Tensor SSA



Singular spectrum analysis [1] является популярным методом анализа временных рядов. Этот метод используется, в частности, для выделения сигнала и выделения тренда и периодических компонент из временного ряда. Метод SSA основан на сингулярном разложении особой траекторной матрицы построенной по временному ряду.

В работе [2] предлагается обобщение метода SSA, Tensor SSA. Это обобщение заключается в том, чтобы вместо траекторной матрицы строить по ряду схожим образом траекторный тензор, а затем применять к нему некоторое тензорное разложение, схожее с матричным SVD. В этой работе утверждается о преимуществах Tensor SSA над обычным SSA.

Существует множество видов тензорных разложений. В этой работе использовалось разложение High-Order Singular Value Decomposition [3], являющееся многомерным аналогом SVD. Помимо него, интерес представляет разложение Canonical Polyadic Decomposition, оно было использовано в работе [2].

Была поставлена задача изучить выбранные варианты тензорных разложений, реализовать метод Tensor SSA, и сравнить с методом Basic SSA по точности выделения сигнала и компонент сигнала.

Описание HOSDV

Пусть имеется тензор $\mathcal{A} \in \mathbb{C}^{I_1 \times I_2 \times ... \times I_M}$, тогда

0

$$\mathcal{A} = \sum_{i_1=1}^{I_1} \sum_{i_2=1}^{I_2} \dots \sum_{i_M=1}^{I_M} \mathcal{Z}_{i_1,i_2,\dots,i_M} U_{i_1}^{(1)} \circ U_{i_2}^{(2)} \circ \dots \circ U_{i_M}^{(M)};$$

- ullet ${f U}^{(n)} = \left[U_1^{(n)}, \dots, U_{I_n}^{(n)}
 ight] -$ унитарные матрицы;
- ullet Тензор $\mathcal{Z} \in \mathbb{C}^{I_1 imes I_2 imes ... imes I_M}$ удовлетворяет свойствам
 - полная ортогональность:

$$\langle \mathcal{Z}_{i_n=\alpha}, \mathcal{Z}_{i_n=\beta} \rangle = 0 \qquad \alpha \neq \beta,$$

2 упорядоченность:

$$\|\mathcal{Z}_{i_n=1}\| \geqslant \|\mathcal{Z}_{i_n=2}\| \geqslant \ldots \geqslant \|\mathcal{Z}_{i_n=I_n}\|.$$

3/20 Хромов Никита Андреевич, гр.20.Б04-мм

Tensor SSA

Tensor SSA

 $ldsymbol{}^{ldsymbol{}ldsymbol{}}$ Известные результаты и определения

└─Описание HOSDV



Любой комплекснозначный тензор $\mathcal A$ размерности $I_1 \times I_2 \times \ldots \times I_M$ может быть представлен в виде суммы тензоров ранга 1, то есть внешних произведений векторов, как показано на слайде. Такое представление называется HOSVD тензора $\mathcal A$, векторы $U_i^{(n)}$ называют i-м сингулярным вектором тензора $\mathcal A$ по измерению n, нормы подтензора $\mathcal Z$ с фиксированным n-м индексом равным i называют i-м сингулярным значением тензора $\mathcal A$ по измерению n.

Свойства HOSVD

Все свойства представлены в работе [De Lathauwer, 2000]

- Единственность.
- HOSVD матрицы совпадает с её SVD.
- Если в HOSVD тензора \mathcal{A} r_n наибольший индекс такой, что $\|\mathcal{Z}_{i_n=r_n}\| > 0$, то $r_n = \mathrm{rank}_n(\mathcal{A})$, где $\mathrm{rank}_n(\mathcal{A})$ размерность пространства векторов измерения n тензора.

•

$$\|\mathcal{A}\|^{2} = \sum_{i=1}^{R_{1}} \left(\sigma_{i}^{(1)}\right)^{2} = \sum_{i=1}^{R_{2}} \left(\sigma_{i}^{(2)}\right)^{2} = \dots = \sum_{i=1}^{R_{M}} \left(\sigma_{i}^{(M)}\right)^{2} = \|\mathcal{Z}\|^{2}$$
$$\sigma_{i}^{(n)} = \|\mathcal{Z}_{i_{n}=i}\|, \qquad R_{n} = \operatorname{rank}_{n}(\mathcal{A}).$$

4/20 Хромов Никита Андреевич, гр.20.Б04-мм

Tensor SSA

Tensor SSA

 $ldsymbol{}^{ldsymbol{}ldsymbol{}}$ Известные результаты и определения

└─Свойства HOSVD



- Все свойства представлены в работе [De Lathauwer, 2000]
 - Единственность
- HOSVD матрицы совпадает с её SVE
- $oldsymbol{\circ}$ Если в HOSVD тензора \mathcal{A} r_n наибольший индекс такой, что $\|\mathcal{Z}_{i_n=r_n}\|>0$, то $r_n=\mathrm{rank}_n(\mathcal{A})$, где $\mathrm{rank}_n(\mathcal{A})$ размерность пространства векторов измерения n тензора.
- $\|A\|^2 = \sum_{i=1}^{R_1} {\sigma_i^{(1)}}^2 = \sum_{i=1}^{R_2} {\sigma_i^{(2)}}^2 = \dots = \sum_{i=1}^{R_M} {\sigma_i^{(M)}}^2 = \|Z\|^2$ $\sigma_i^{(n)} = \|Z_{i,n-i}\|, \quad R_n = \operatorname{rank}_n(A).$
- 1. HOSVD является единственным M-ортогональным разложением тензора, и сингулярные значения и векторы определяются с точностью до унитарных преобразований.
- 2. Результат применения HOSVD к тензору с двумя измерениями, т.е. матрице, совпадает с результатом применения SVD к этой же матрице, в точности до унитарных преобразований сингулярных векторов и матрицы сингулярных значений.
- 3. n-рангом тензора \mathcal{A} называется размерность векторного пространства, порождённого векторами измерения n этого тензора. Обозначается $R_n = \operatorname{rank}_n(\mathcal{A})$. Если в HOSVD тензора \mathcal{A} r_n наибольший индекс такой, что $\|\mathcal{Z}_{i_n=r_n}\| > 0$, то $r_n = \operatorname{rank}_n(\mathcal{A})$;
- 4. Квадрат нормы тензора совпадает с суммами квадратов сингулярных значений по каждому из измерений и совпадает с квадратом нормы тензора $\mathcal Z$ из разложения.

Свойства HOSVD

- ullet Векторы тензора ${\mathcal A}$ по измерению n в основном содержат вклады в направлении $U_1^{(n)}$, величина этого вклада равна $\sigma_{\scriptscriptstyle \rm I}^{(n)^2}$. Следующий по величине вклад по измерению nдостигается в направлении $U_2^{(n)}$, перпендикулярном $U_1^{(n)}$, с величиной $\sigma_2^{(n)^2}$, и т.д.
- Определим тензор $\hat{\mathcal{A}}$ отбрасыванием наименьших сингулярных значений $\sigma_{I'_n+1}^{(n)}, \sigma_{I'_n+2}^{(n)}, \dots, \sigma_{R_n}^{(n)}$, тогда

$$\|\mathcal{A} - \hat{\mathcal{A}}\|^2 \leqslant \sum_{i_1 = I_1' + 1}^{R_1} \left(\sigma_{i_1}^{(1)}\right)^2 + \sum_{i_2 = I_2' + 1}^{R_2} \left(\sigma_{i_2}^{(2)}\right)^2 + \ldots + \sum_{i_M = I_M' + 1}^{R_M} \left(\sigma_{i_M}^{(M)}\right)^2.$$

5/20

Хромов Никита Андреевич, гр.20.Б04-мм

Tensor SSA

Tensor SSA

 $ldsymbol{}^{log}}}}}}}}}}}}$ и определения

└─Свойства HOSVD

$$\|A - \hat{A}\|^2 \le \sum_{i_1=I'+1}^{R_1} \left(\sigma_{i_1}^{(1)}\right)^2 + \sum_{i_2=I'+1}^{R_2} \left(\sigma_{i_2}^{(2)}\right)^2 + ... + \sum_{i_1=I'+1}^{R_M} \left(\sigma_{i_M}^{(M)}\right)^2$$

- 1. Векторы тензора $\mathcal A$ по измерению n в основном содержат вклады в направлении $U_1^{(n)}$, и вклад в этом направлении равен $\sigma_1^{(n)^2}$. Следующий по величине вклад по измерению n достигается в направлении $U_2^{(n)}$, перпендикулярном $U(n)_1$, с величиной $\sigma_2^{(n)^2}$, и так далее.
- 2. Пусть $R_n = \operatorname{rank}_n(\mathcal{A})$. Определим тензор $\hat{\mathcal{A}}$ отбрасыванием наименьших сингулярных значений $\sigma_{I'_n+1}^{(n)}, \sigma_{I'_n+2}^{(n)}, \dots, \sigma_{R_n}^{(n)}$ для заданных значений I'_n , $n \in \overline{1:M}$, то есть заменяя нулями соответствующие части тензора \mathcal{Z} . Тогда квадрат нормы разности тензоров не превосходит суммы квадратов отброшенных сингулярных значений.

Эти свойства являются эквивалентом высшего порядка связи между SVD матрицы и ее наилучшим приближением, в смысле наименьших квадратов, матрицей более низкого ранга. Однако для тензоров ситуация совершенно иная. Тензор, полученный усечением HOSVD в общем случае не является наилучшим приближением при заданных ограничениях на ранги измерений,

Описание метода Tensor SSA

Имеется временной ряд $X = (x_1, x_2, \dots, x_N)$. Приведём формулировки алгоритма Tensor SSA для решения различных задач.

Входные данные алгоритма: $I, L : 1 \le I, L \le N, I + L \le N + 1.$ Траекторный тензор: тензор размерности $I \times L \times J = N - I - J + 2$, строится по ряду:

$$\mathcal{X}_{i,l,j} = x_{i+l+j-2}$$
 $i \in \overline{1:I}, l \in \overline{1:L}, j \in \overline{1:J}.$

Слои траекторного тензора:

$$\mathcal{X}_{,,j} = \begin{pmatrix} x_j & x_{j+1} & \dots & x_{j+L-1} \\ x_{j+1} & x_{j+2} & & \vdots \\ \vdots & & \ddots & \vdots \\ x_{j+I-1} & \dots & \dots & x_{j+I+L-2} \end{pmatrix}.$$

6/20 Хромов Никита Андреевич, гр.20.Б04-мм Tensor SSA

Tensor SSA

└─Описание Tensor SSA и его свойства

└Oписание метода Tensor SSA



Пусть имеется временной ряд $\mathsf{X} = (x_1, x_2, \dots, x_N)$. Приведём формулировки алгоритма Tensor SSA для решения различных задач. Входные данные алгоритма: два числа $I, L: 1 \leqslant I, L \leqslant N, I+L \leqslant N+1.$ Введём понятие траекторного тензора: это тензор, составленный из элементов ряда таким образом, что его i, l, j-й элемент равен i + l + li-2-му элементу ряда. На слайде представлен слой траекторного тензора, полученный фиксированием третьего измерения индексом j. Похожим образом выглядят и остальные слои.

Tensor SSA: отделение компонент сигнала

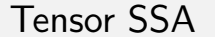
Задача: отделение компонент сигнала в ряде.

- **1** Вложение: выбор параметров I, L и построение по ним траекторного тензора \mathcal{X} ;
- **2** Разложение: Проведение HOSVD траекторного тензора \mathcal{X} , получение его представления в виде

$$\mathcal{X} = \sum_{i=1}^{I} \sum_{l=1}^{L} \sum_{j=1}^{J} \mathcal{Z}_{i,l,j} \mathbf{U}_{i}^{(1)} \circ \mathbf{U}_{l}^{(2)} \circ \mathbf{U}_{j}^{(3)};$$

7/20 Хромов Никита Андреевич, гр.20.Б04-мм

Tensor SSA



└─Описание Tensor SSA и его свойства

__Tensor SSA: отделение компонент сигнала



Рассмотрим задачу отделения компонент сигнала в ряде.

- 1. Первый шаг алгоритма заключается в выборе параметров I,L и построение по ним траекторного тензора ряда.
- 2. Второй шаг алгоритма заключается в проведении разложения HOSVD траекторного тензора. В результате получается представление в виде суммы тензоров ранга 1 (то есть внешних произведений векторов).

Tensor SSA: отделение компонент сигнала

 $\mathfrak{S} = \{1,\,2\,\dots,\,\min(I,L,J)\}$ по смыслу на непересекающиеся множества $\mathfrak{S}_k,\,k\in\overline{1:m}$ и построение по этому разбиению тензоров

$$\mathcal{X}^{(\mathfrak{S}_k)} = \sum_{i \in \mathfrak{S}_k} \sum_{l \in \mathfrak{S}_k} \sum_{j \in \mathfrak{S}_k} \mathcal{Z}_{i,l,j} \mathbf{U}_i^{(1)} \circ \mathbf{U}_l^{(2)} \circ \mathbf{U}_j^{(3)}.$$

3 Восстановление: получение рядов $\mathsf{X}^{(k)} = \mathsf{X}^{(\mathfrak{S}_k)}$ по тензорам $\mathcal{X}^{(\mathfrak{S}_k)}$ посредством их усреднения вдоль плоскостей $i+l+j=\mathrm{const}$.

Результат алгоритма: набор рядов $X^{(k)}$ таких, что

$$\mathsf{X} = \sum_{k=1}^{m} \mathsf{X}^{(k)}.$$

8/20

Хромов Никита Андреевич, гр.20.Б04-мм

Tensor SSA

Tensor SSA

—Описание Tensor SSA и его свойства

—Tensor SSA: отделение компонент сигнала



- 1. Третий шаг: группировка. На этом шаге множество индексов суммирования разбивается на непересекающиеся множества по смыслу, и по этим множествам определяется набор тензоров, соответствующих различным компонентам сигнала.
- 2. Четвёртый шаг: восстановление. На этом шаге полученные после группировки тензоры усредняются вдоль плоскостей с фиксированным значением суммы индексов.

В результате усреднения получается набор временных рядов, в сумме дающий исходный ряд, этот набор и будет результатом алгоритма.

Tensor SSA: отделение сигнала усечением HOSVD

Задача: выделение сигнала из ряда.

Способы реализации Tensor SSA для решения этой задачи: усечение HOSVD и High-order orthogonal iteration (HOOI). Начнём с усечения HOSVD.

Первые два шага в этом алгоритме — вложение и разложение, были описаны выше.

- **3** Усечение: выбор ранга сигнала r и обнуление матриц-слоёв тензора $\mathcal Z$ с номерами k>r по каждому измерению. Построение по этому усечению тензора $\hat{\mathcal X}$.
- $oldsymbol{4}$ Восстановление: усреднение тензора $\hat{\mathcal{X}}$ вдоль плоскостей $i+l+j=\mathrm{const.}$

Результат алгоритма: полученный усреднением ряд \hat{X} будем считать сигналом.

9/20

Хромов Никита Андреевич, гр.20.Б04-мм

Tensor SSA



└─Описание Tensor SSA и его свойства

Tensor SSA: отделение сигнала усечением HOSVD



Рассмотрим задачу выделения сигнала из ряда. Алгоритм Tensor SSA для решения этой задачи может быть проведён двумя различными способами: используя усечение HOSVD и используя High-order orthogonal iteration (о втором будет сказано позже).

Первый способ заключается в усечении сингулярного разложения траекторного тензора. Первые два шага этого алгоритма совпадают с алгоритмом для отделения компонент ряда, поэтому опишем его, начиная с третьего шага.

- 3. Третий шаг заключается в выборе ранга сигнала r и усечении тензора сингулярных значений по этому рангу. Другими словами, имея ранг сигнала r и разложение траекторного тензора \mathcal{X} , в тензоре \mathcal{Z} заменим матрицы-слои по каждому измерению с номерами k>r на нулевые, и по полученному тензору построим приближение траекторного тензора $\hat{\mathcal{X}}$.
- 4. На четвёртом шаге, используя усреднение тензора $\hat{\mathcal{X}}$ вдоль плоскостей $i+l+j=\mathrm{const}$ получим ряд $\hat{\mathbf{X}}$. Этот ряд и будем считать сигналом.

Стоит отметить, что этот способ не является оптимальным.

Tensor SSA: отделение сигнала с помощью HOOI

Задача: выделение сигнала из ряда.

Второй способ использует HOOI — метод приближения тензора другим тензором с меньшими значениями n-рангов. В отличие от усечения, этот метод является оптимальным.

Первый шаг алгоритма — вложение, совпадает с предыдущими алгоритмами, поэтому опишем его начиная со второго шага.

- **2** HOOI: Выбор ранга сигнала r и применение к \mathcal{X} HOOI с набором n-рангов (r, r, r). Результат оптимальное приближение тензором $\hat{\mathcal{X}}$ с n-рангами r.
- f 3 Восстановление: усреднение тензора $\hat{\mathcal{X}}$ аналогично восстановлению в варианте с усечением.

Результат алгоритма: полученный усреднением ряд \hat{X} будем считать сигналом.

10/20

Хромов Никита Андреевич, гр.20.Б04-мм

Tensor SSA



—Описание Tensor SSA и его свойства

—Tensor SSA: отделение сигнала с помощью HOOI



Второй способ использует метод приближения тензора другим тензором с меньшими значениями n-рангов — High-Order Orthogonal Iteration (HOOI) [4]. В отличие от усечения, этот метод является оптимальным, в том смысле, что на тензоре, полученном этим методом достигается минимум расстояния, в смысле нормы Фробениуса, до исходного тензора по всем тензорам с данными ограничениями на ранги.

Приведём вторую реализацию алгоритма Tensor SSA для отделения сигнала от шума, используя HOOI. Первый шаг алгоритма — вложение, совпадает с предыдущими алгоритмами, поэтому опишем его начиная со второго шага.

- 2. На втором шаге выбирается ранг сигнала r и к полученному ранее траекторному тензору $\mathcal X$ применяется HOOI с набором n-рангов $(r,\,r,\,r)$. В результате получаем оптимальное приближение траекторного тензора $\mathcal X$ тензором $\hat{\mathcal X}$ со значениями n-рангов равными r.
- 3. Третий шаг восстановление ряда по тензору $\hat{\mathcal{X}}$ усреднением совпадает с четвёртым шагом (восстановлением) в первом варианте алгоритма для выделения сигнала из ряда.

Полученный усреднением ряд \hat{X} будем считать сигналом.

Свойства Tensor SSA, разделимость рядов

• Разделимость рядов

Утверждение

Если временные ряды \tilde{X} и \hat{X} длины N слабо I- и L-разделимы в смысле теории SSA, то существует такое HOSVD траекторного тензора \mathcal{X} ряда $X = \tilde{X} + \hat{X}$, что его можно в виде суммы HOSVD траекторных тензоров рядов \tilde{X} и \hat{X} .

Понятие слабой разделимости рядов из SSA применимо к тензорному случаю

11/20

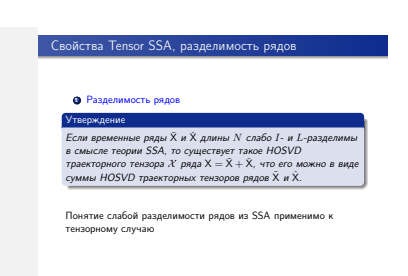
Хромов Никита Андреевич, гр.20.Б04-мм

Tensor SSA

Tensor SSA

└─Описание Tensor SSA и его свойства

Свойства Tensor SSA, разделимость рядов



В ходе работы были получены некоторые свойства, связывающие стандартный метод SSA с Tensor SSA.

Первое утверждение о разделимости позволяет перенести понятие слабой разделимости рядов из теории SSA на тензорный случай.

Само утверждение заключается в том, что если временные ряды \tilde{X} и \hat{X} длины N слабо I- и L-разделимы в смысле теории SSA, то существует такое сингулярное разложение траекторного тензора \mathcal{X} ряда $X = \tilde{X} + \hat{X}$, что его можно в виде суммы сингулярных разложений траекторных тензоров, составленных по рядам \tilde{X} и \hat{X} .

Доказательство утверждения следует из ортогональности сингулярных векторов в HOSVD.

Кроме того были выведены условия слабой разделимости некоторых частных случаев временных рядов.

Свойства Tensor SSA, ранг ряда

Ранг ряда

Утверждение

Пусть временной ряд X имеет конечный ранг d в терминах SSA. Тогда для любых значений параметров I и L таких, что

$$d \leqslant \min(I, L, N - I - L + 2),$$

количество ненулевых сингулярных чисел по каждому измерению в HOSVD траекторного тензора $\mathcal X$ этого ряда с параметрами I и L будет равно d.

Понятие ранга ряда имеет тот же смысл в терминах Tensor SSA, что и в стандартной теории SSA, причём ряды конечного ранга имеют одинаковые ранги в тензорном и стандартном случаях.

12/20

Хромов Никита Андреевич, гр.20.Б04-мм

Tensor SSA



—Описание Tensor SSA и его свойства

—Свойства Tensor SSA, ранг ряда



Второе утверждение о ранге ряда говорит о том, что понятие ранга ряда имеет тот же смысл в терминах Tensor SSA, что и в стандартной теории SSA, причём ряды конечного ранга имеют одинаковые ранги в тензорном и стандартном случаях.

Само утверждение звучит заключается в том, что если ряд имеет конечный ранг d, то для любых допустимых параметров I,L количество ненулевых сингулярных чисел по каждому измерению в сингулярном разложении траекторного тензора $\mathcal X$ будет равно d.

Доказательство этого утверждения следует из свойств n-рангов сингулярного разложения.

Разделимость синуса и константы

Ряд: $x_n = 3 + \sin(2\pi n/3 + \pi/3)$, $n \in \overline{0:15}$;

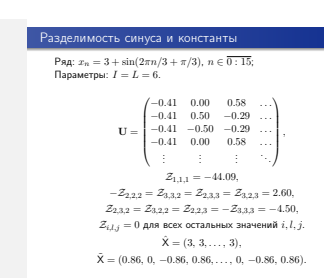
Параметры: I = L = 6.

$$\mathbf{U}=egin{pmatrix} -0.41 & 0.00 & 0.58 & \dots \ -0.41 & 0.50 & -0.29 & \dots \ -0.41 & -0.50 & -0.29 & \dots \ -0.41 & 0.00 & 0.58 & \dots \ & \vdots & \vdots & \ddots \end{pmatrix},$$
 $\mathcal{Z}_{1,1,1}=-44.09,$ $\mathcal{Z}_{2,2,2}=\mathcal{Z}_{3,3,2}=\mathcal{Z}_{2,3,3}=\mathcal{Z}_{3,2,3}=2.60,$ $\mathcal{Z}_{2,3,2}=\mathcal{Z}_{3,2,2}=\mathcal{Z}_{2,2,3}=-\mathcal{Z}_{3,3,3}=-4.50,$ $\mathcal{Z}_{i,l,j}=0$ для всех остальных значений $i,l,j.$ $\hat{\mathbf{X}}=(3,\,3,\dots,\,3),$ $\hat{\mathbf{X}}=(0.86,\,0,\,-0.86,\,0.86,\dots,\,0,\,-0.86,\,0.86).$

Хромов Никита Андреевич, гр.20.Б04-мм Tensor SSA 13/20

```
Tensor SSA
□Применение Tensor SSA
```

Разделимость синуса и константы



Рассмотрим ряд с элементами $x_n = 3 + \sin(2\pi n/3 + \pi/3)$, где $n \in \overline{0:15}$. После построения траекторного тензора $\mathcal X$ с параметрами I=L=6 и его разложения получаем тензор сингулярных чисел ${\mathcal Z}$ и матрицы сингулярных векторов $\mathbf{U}^{(1)},\,\mathbf{U}^{(2)},\,\mathbf{U}^{(3)}$. Так как все размерности траекторного тензора ${\mathcal X}$ равны, значит совпадают и матрицы сингулярных векторов $\mathbf{U}^{(1)} = \mathbf{U}^{(2)} = \mathbf{U}^{(3)} = \mathbf{U}$.

Видно, что первый сингулярный вектор постоянен, а второй и третий — периодические с периодом 3. Кроме того, по каждому из трёх измерений количество ненулевых сингулярных чисел равно 3 (например $\|\mathcal{Z}_{..1}\| > \|\mathcal{Z}_{..2}\| = \|\mathcal{Z}_{..3}\| > 0$, $\|\mathcal{Z}_{..j}\| = 0$ для всех остальных j). Исходя из этого, имеет смысл отнести индекс $\{1\}$ к константной компоненте ряда, индексы $\{2, 3\}$ — к гармонической (синус), а остальные проигнорировать. После восстановления тензоров, полученных такой группировкой, получаем два ряда на слайде.

Таким образом, константный ряд отделился от синуса в случае выполнения условий точной разделимости.

Смешение косинусов одинаковой амплитуды

Ряд: $x_n = \cos(2\pi n/3) + \cos(2\pi n/4)$, $n \in \overline{0:33}$. Параметры: I = L = 12.

После сингулярного разложения, $\mathcal Z$ имеет вид тензорного блока $\mathcal Z'$ размерности $4\times 4\times 4$, окаймлённого нулями, в котором уже нельзя выделить блочно-диагональную структуру.

$$\mathbf{U} = \begin{pmatrix} 0 & 0 & -0.58 & 0 & \dots \\ -0.18 & 0.36 & 0.14 & -0.39 & \dots \\ -0.17 & -0.16 & 0.43 & 0.30 & \dots \\ 0.38 & -0.04 & -0.29 & 0.32 & \dots \\ 0.14 & 0.002 & -0.14 & -0.54 & \dots \\ \vdots & \vdots & \vdots & \vdots & \ddots \end{pmatrix}.$$

14/20 Хромов Никита Андреевич, гр.20.Б04-мм

Tensor SSA

Tensor SSA
Применение Tensor SSA

Смешение косинусов одинаковой амплитуды



Рассмотрим ряд с элементами $x_n = \cos(2\pi n/3) + \cos(2\pi n/4)$, $n \in \overline{0:33}$. Выбрав параметры I=L=12, после разложения получаем тензор сингулярных значений $\mathcal Z$ и, в силу равенства размерностей траекторного тензора, равные между собой матрицы сингулярных векторов $\mathbf U^{(1)} = \mathbf U^{(2)} = \mathbf U^{(3)} = \mathbf U$. Тензор $\mathcal Z$ имеет вид тензорного блока $\mathcal Z'$ размерности $4\times 4\times 4$, окаймлённого нулями, в котором уже нельзя выделить блочно-диагональную структуру. Если рассмотреть матрицы сингулярных векторов, можно увидеть, что никакой сингулярный вектор не имеет периода равного 3 или 4: (на слайде)

Таким образом, произошло смешение двух косинусов одинаковой амплитуды, и несмотря на наличие слабой разделимости, отсутствие точной разделимости не даёт отделить косинусы.

Сравнение Tensor SSA и Basic SSA

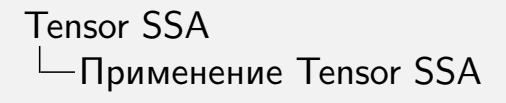
- \bullet $x_n = 2e^{0.035n}$, шум белый гауссовский, $\sigma^2 = 2.25$;
- $x_n = 2 + 0.1n$, шум белый гауссовский, $\sigma_1^2 = 2.25, \, \sigma_2^2 = 0.04$;
- $x_n=30\cos(2\pi n/12)$, шум белый гауссовский, $\sigma^2=25$, и красный, $\delta=\sqrt{5},\ \varphi_1=0.5, \varphi_2=0.9.$

Во всех этих случаях метод SSA показал точность отделения сигнала выше, чем Tensor SSA.

15/20

Хромов Никита Андреевич, гр.20.Б04-мм

Tensor SSA



Сравнение Tensor SSA и Basic SSA

• $x_n=2e^{0.035n}$, шум — белый гауссовский, $\sigma^2=2.5$ • $x_n=2+0.1n$, шум — белый гауссовский,

 $\mathbf{v}_n = 30\cos(2\pi n/12)$, шум — белый гауссовский, $\sigma^2 = 25$, и

Во всех этих случаях метод SSA показал точность отделени

Были проведены численные измерения точности восстановления сигнала при использовании SSA и предложенных методов Tensor SSA на примерах трёх рядов: порождённого экспонентой, линейного и косинуса.

На экспоненциальный ряд действовали белым шумом и восстанавливали по одной компоненте.

Для линейного ряда рассматривались ситуации большого и малого шума и в обеих ситуациях сравнивалось восстановление по одной и двум компонентам.

На ряд косинуса действовали белым шумом и красным с разными параметрами.

Шло сравнение точности метода SSA и методов Tensor SSA с использованием усечения и HOOI. Во всех приведённых выше случаях метод SSA оказался точнее остальных.

Сравнение Tensor SSA и Basic SSA

Таблица: RMSE восстановленного с помощью SSA сигнала, порождённого косинусом.

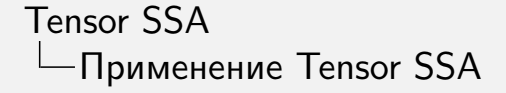
	12	24	30	36
б. шум, $\sigma^2 = 25$	1.82	1.42	1.40	1.42
к. шум, $\varphi=0.5$	1.31	1.03	1.01	1.03
к. шум, $\varphi=0.9$	1.88	1.37	1.34	1.36

Таблица: RMSE восстановленного с помощью Tensor SSA с использованием усечения HOSVD сигнала, порожённого косинусом.

I imes L вид шума	12×12	12×24	12×30	24×24	24×30	30×36
б. шум, $\sigma^2 = 25$	1.64	1.53	1.57	1.66	1.62	1.49
к. шум, $\varphi=0.5$	1.18	1.12	1.14	1.21	1.19	1.08
к. шум, $\varphi=0.9$	1.58	1.44	1.47	1.57	1.54	1.46

16/20 Хромов Никита Андреевич, гр.20.Б04-мм

Tensor SSA



└─Сравнение Tensor SSA и Basic SSA

порождённо	го косин	гусом.		юмощь	o SSA	си пала,	
	вид шу	Ma	L 12	24	30	36	
•	6. ш	ym , $\sigma^2 = 1$	25 1.82	1.42	1.40	1.42	
	к. ш	yм, φ = (1.31	1.03	1.01	1.03	
	к. шум, φ = 0.9		1.88	1.37	1.34	1.36	
Таблица: RN	ACE non	exauenne.					
использован						ного кос	
использован	I×L	чения Н(DSVD си 12×24	гнала, г	орожён 24×2	ного кос 4 24×3	30×30
использован	ием усе $I \times L$ $T^2 = 25$	чения Н	OSVD си	гнала, г	орожё	ного кос 4 24×3i 6 1.6:	30×30

В таблицах приведены значения отклонения восстановленного ряда от исходного для различных вариантов шума и различных значений параметров после использования SSA и Tensor SSA.

Корень среднего среднеквадратичного отклонения взят по 500 реализациям каждого шума.

На этом слайде показан результат Tensor SSA с использованием усечения. Видно, что во всех случаях, лучший результат для SSA оказывается меньше лучшего результата для Tensor SSA.

Сравнение Tensor SSA и Basic SSA

Таблица: RMSE восстановленного с помощью SSA сигнала, порождённого косинусом.

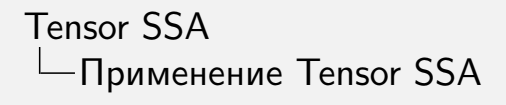
	12	24	30	36
б. шум, $\sigma^2 = 25$	1.82	1.42	1.40	1.42
к. шум, $\varphi=0.5$	1.31	1.03	1.01	1.03
к. шум, $\varphi=0.9$	1.88	1.37	1.34	1.36

Таблица: RMSE восстановленного с помощью Tensor SSA с использованием HOOI сигнала, порождённого косинусом.

I imes L вид шума	12×12	12×24	12×30	24×24	24×30	30×36
б. шум, $\sigma^2 = 25$	1.63	1.53	1.56	1.65	1.62	1.49
к. шум, $\varphi=0.5$	1.17	1.12	1.14	1.21	1.19	1.08
к. шум, $\varphi=0.9$	1.56	1.42	1.44	1.54	1.51	1.39

17/20 Хромов Никита Андреевич, гр.20.Б04-мм

Tensor SSA



└─Сравнение Tensor SSA и Basic SSA



Ha этом слайде показан результат Tensor SSA с использованием HOOI. Всё ещё во всех случаях SSA показывает лучший результат, чем Tensor SSA.

Кроме того, лучший результат для Tensor SSA с использованием HOOI в случае красного шума с параметром 0.9 оказался меньше, чем соответствующий лучший результат для Tensor SSA с усечением.

Особый случай

$$x_n = \sin(2\pi n/3 + \pi/2), n \in \overline{1:9}.$$

Шум: красный с параметрами $\delta = 0.1, \, \varphi = 0.9.$

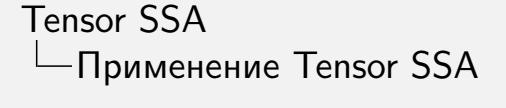
SSA	Tensor SSA (HOSVD)	Tensor SSA (HOOI)
0.116	0.110	0.095

Таблица: RMSE восстановленного с помощью различных методов короткого сигнала, порождённого синусом

18/20

Хромов Никита Андреевич, гр.20.Б04-мм

Tensor SSA



└Особый случай



Был найден случай временного ряда и шума, для которого метод Tensor SSA с использованием HOOI оказался в среднем точнее, чем SSA.

Сигнал задан коротким синусом со слайда, на него подействовали красным шумом с параметрами $\delta=0.1,\,\varphi=0.9.$

Корень среднего среднеквадратичного отклонения взят по 500 реализациям шума. Из таблицы видно, что в случае так заданного ряда, метод Tensor SSA оказывается точнее стандартного SSA, причём самым точным оказался метод с использованием HOOI.

Причины данного явления на данном этапе остаются неизвестными.

Заключение

Таким образом:

- Описан и реализован алгоритм Tensor SSA.
- Выведены аналоги важных свойств SSA для метода Tensor SSA.
- Описаны примеры использования метода.
- Проведено численное сравнение точности методов Tensor SSA и SSA, найден особый случай.

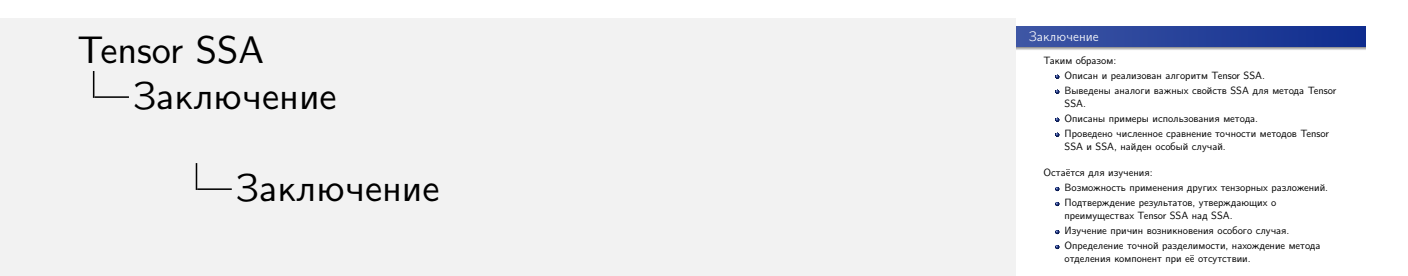
Остаётся для изучения:

- Возможность применения других тензорных разложений.
- Подтверждение результатов, утверждающих о преимуществах Tensor SSA над SSA.
- Изучение причин возникновения особого случая.
- Определение точной разделимости, нахождение метода отделения компонент при её отсутствии.

19/20

Хромов Никита Андреевич, гр.20.Б04-мм

Tensor SSA



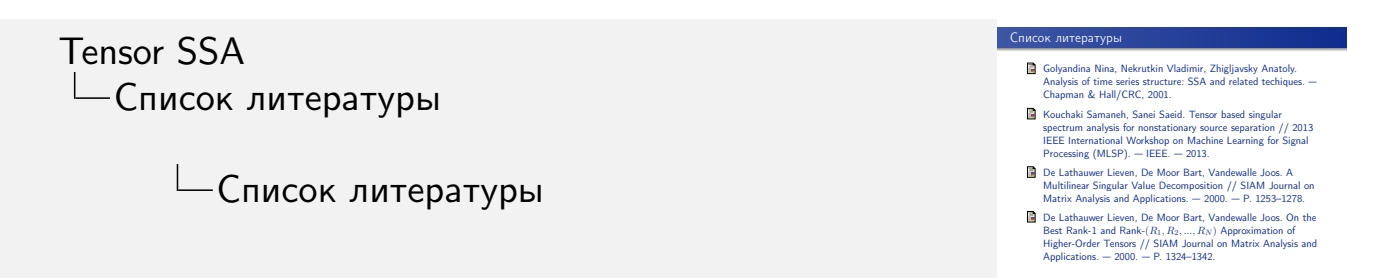
Текст про заключение

Список литературы

- Golyandina Nina, Nekrutkin Vladimir, Zhigljavsky Anatoly.
 Analysis of time series structure: SSA and related techiques. —
 Chapman & Hall/CRC, 2001.
- Kouchaki Samaneh, Sanei Saeid. Tensor based singular spectrum analysis for nonstationary source separation // 2013 IEEE International Workshop on Machine Learning for Signal Processing (MLSP). IEEE. 2013.
- De Lathauwer Lieven, De Moor Bart, Vandewalle Joos. A Multilinear Singular Value Decomposition // SIAM Journal on Matrix Analysis and Applications. 2000. P. 1253–1278.
- De Lathauwer Lieven, De Moor Bart, Vandewalle Joos. On the Best Rank-1 and Rank- $(R_1,R_2,...,R_N)$ Approximation of Higher-Order Tensors // SIAM Journal on Matrix Analysis and Applications. 2000. P. 1324–1342.

20/20 Хромов Никита Андреевич, гр.20.Б04-мм

Tensor SSA



На данном слайде представлен список основных источников, используемых в моей работе.